

Э. Лукевиц, П. Арсенян, И. Шестакова

**СИНТЕЗ И ЦИТОТОКСИЧНОСТЬ  
СИЛИЛ- И КАРБОНИЛЗАМЕЩЕННЫХ ИЗОКСАЗОЛОВ**

Различные дифенилметилсилил- и карбонилзамещенные изоксазолы получены реакцией [2+3]-диполярного циклоприсоединения окисей нитрилов к дифенилметилсилил-, гидроксиметил-, метоксиметил- и этоксикарбонилацетиленам. Обнаружено, что полученные изоксазолы обладают средней цитотоксичностью на линиях клеток НТ-1080 и MG-22A. Наибольший уровень активности показал 3-метил-5-дифенилметилизоксазол.

**Ключевые слова:** изоксазол, кремний, силильная группа, циклоприсоединение, цитотоксичность.

Производные изоксазола вызывают интерес как ценные синтоны в органическом синтезе и потенциально биологически активные вещества [1–3]. Силил- и гермилзамещенные изоксазолы проявляют широкий спектр биологической активности. Триэтилсилил-, триэтилгермил-, триэтилгермилметил-, фенилдиметилсилил- и силатранилизоксазолины показали высокий уровень вазодилатирующей, антитромботической и кардиопротекторной активности. Так, 3-(5'-триэтилгермил-3'-изоксазолинил)пиридин гидрохлорид предотвращает нарушение ритма сердца при ишемии [4, 5]. Силил- и гермилизоксазолины обладают средней токсичностью и слабовыраженной цитотоксичностью, а также достаточно высокой психотропной активностью [6]. Напротив, сильные производные 4,4-диоксо-3a,6a-дигидротиено[2,3-d]изоксазолинов-2 обладают выраженной цитотоксичностью, особенно на линиях MG-22A (мышиная гепатома) и НТ-1080 (фиброзаркома человека) [7].

Целью данной работы является получение и исследование цитотоксичности дифенилметилсилил- и карбонилизоксазолов.

Реакции [2+3]-диполярного циклоприсоединения окисей нитрилов к дифенилметилэтинилсилану протекают с образованием дифенилметилсилилзамещенных изоксазолов (табл. 1). Согласно данным ГЖХ, ВЭЖХ и масс-спектрометрического анализа, в реакциях циклоприсоединения образуется только один продукт. По данным ЯМР <sup>1</sup>H анализа, региоспецифично образуются 5-дифенилметилизоксазолы.

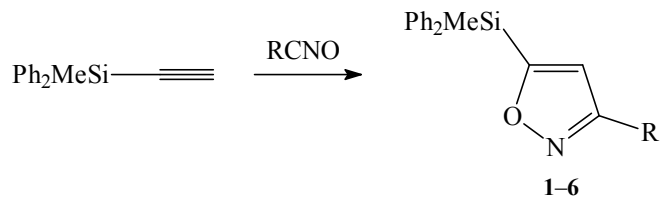


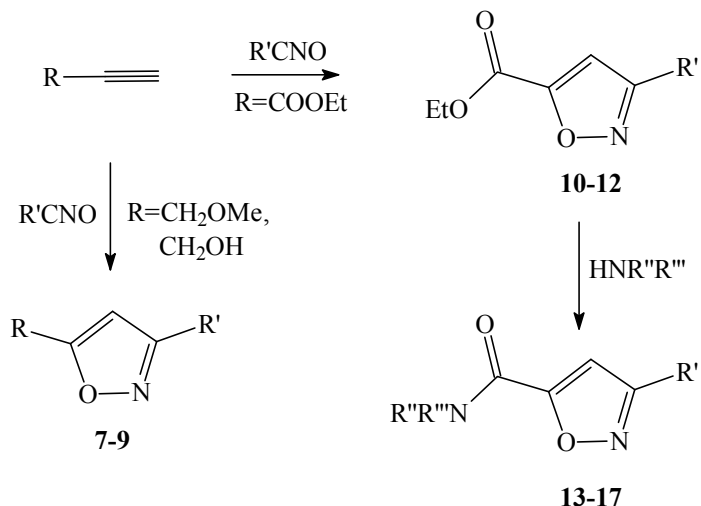
Таблица 1  
Синтез дифенилметилсилазамещенных изоксазолов 1–6

| Соединение | R   | Время реакции, ч | Температура, °C | Выход, % |
|------------|---|------------------|-----------------|----------|
| 1          | Me  | 4                | 80              | 71       |
| 2          | Ph  | 2                | 20              | 80       |
| 3          | 4-(F <sub>3</sub> C)C <sub>6</sub> H <sub>4</sub> | 2                | 20              | 75       |
| 4          | 2-Py  | 5                | 20              | 58       |
| 5          | 3-Py  | 5                | 20              | 55       |
| 6          | 4-Py  | 5                | 20              | 64       |

Для получения 3-метил-5-дифенилметилсилазамещенных изоксазолов 1 использовался метод Мукайамы [8]. Реакцию проводили в бензоле, добавляя по каплям нитроэтан с каталитическим количеством триэтиламина к смеси этинилсилана и двойного эквивалента фенилизоцианата. О протекании реакции свидетельствует выделение CO<sub>2</sub> и выпадение в осадок дифенилмочевины.

Изоксазолы, содержащие в положении 3 арильную группу 2–6, получают при добавлении по каплям хлорангидрида арилгидроксамовой кислоты к раствору силилацетилена и эквимолярного количества триэтиламина в эфире. О начале реакции свидетельствует выпадение осадка гидрохлорида триэтиламина. Циклоприсоединение замещенных хлорангидридовベンзгидроксамовых кислот к дифенилметилэтинилсилану проходит с более высокими выходами, чем пиридиновых аналогов, вследствие пониженной растворимости последних в бензоле.

Сигнал ароматического протона изоксазольного кольца H(4) в спектре ЯМР <sup>1</sup>H находится в пределах 6.26–6.84 м. д. Метильная группа силильного заместителя дает сигнал в районе 0.80–0.91 м. д. Смещение сигнала в сторону более слабого поля вызывается введением в положение 3 ароматического заместителя (табл. 3).

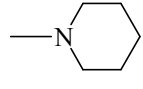


Диполярное присоединение окисей нитрилов к пропаргиловому спирту, метилпропаргиловому эфиру и этиловому эфиру пропиоловой кислоты проходит с образованием 5-замещенных изоксазолов **7–17** с хорошими выходами (55–90%).

Реакцию проводят при комнатной температуре в бензоле и добавлении по каплям раствора триэтиламина к смеси хлорангидрида арилгидроксамовой кислоты и эквимолярного количества производного ацетилена. Полученные этиловые эфиры изоксазолкарбоновых кислот **10–12** превращают в соответствующие амиды обычным методом, растворяя в этиловом спирте с пятикратным избытком амина и оставляя на 3–4 дня. В результате были получены амиды изоксазолкарбоновых кислот **13–17** с удовлетворительными выходами (табл. 2). Спектры ЯМР  $^1\text{H}$  полученных продуктов представлены в табл. 3.

Таблица 2

**Данные по получению карбонилзамещенных изоксазолов 7–17**

| Соединение | R                   | R'  | R'' | R'''   | Выход, % |
|------------|---------------------|---|-----|--|----------|
| <b>7</b>   | CH <sub>2</sub> OMe | 2-MeOC <sub>6</sub> H <sub>4</sub>                |     |  | 90       |
| <b>8</b>   | CH <sub>2</sub> OH  | 2-MeOC <sub>6</sub> H <sub>4</sub>                |     |  | 80       |
| <b>9</b>   | CH <sub>2</sub> OMe | 3-Py  |     |  | 67       |
| <b>10</b>  | COOMe               | 2-MeOC <sub>6</sub> H <sub>4</sub>                |     |  | 86       |
| <b>11</b>  | COOEt               | 2-CHF <sub>2</sub> OC <sub>6</sub> H <sub>4</sub> |     |  | 80       |
| <b>12</b>  | COOEt               | 3-Py  |     |  | 55       |
| <b>13</b>  |                     | 2-MeOC <sub>6</sub> H <sub>4</sub>                | Me  | Me   | 65       |
| <b>14</b>  |                     | 2-CHF <sub>2</sub> OC <sub>6</sub> H <sub>4</sub> | Me  | Me   | 65       |
| <b>15</b>  |                     | 3-Py  | Me  | Me   | 62       |
| <b>16</b>  |                     | 3-Py  |     |  | 50       |
| <b>17</b>  |                     | 3-Py  | H   | CH <sub>2</sub> Ph   | 42       |

Для части синтезированных веществ исследованы цитотоксические свойства *in vitro* в отношении двух линий опухолевых клеток: HT-1080 (фибросаркома человека), MG-22A (мышиная гепатома). Концентрации веществ, обеспечивающие 50% гибель клеток *in vitro* (TD<sub>50</sub>) (табл. 4), были определены с помощью стандартной методики по интенсивности окрашивания клеточных мембран кристаллическим фиолетовым и митохондриальных энзимов бромидом 3-(4,5-диметилтиазол-2-ил)-2,5-дифенилтетразолия [9–11].

В ряду 5-дифенилметилилизоксазолов **1–6** наибольший цитотоксический эффект был обнаружен у 3-метилзамещенного изоксазола **1**. Фенилзамещенные аналоги **2, 3** не обладают цитотоксичностью, а 3- и 4-пиридилпроизводные **5** и **6** показали среднюю активность. При замещении метоксиметильной группы в положении 5 в соединении **7** на этоксикарбонильную и аминокарбонильную происходит понижение цитотоксичности до полного ее отсутствия в случае 3-(3'-пиридил)-5-пиперидинкарбонилизоксазола (**16**).

Таблица 3  
Спектры ЯМР  $^1\text{H}$  соединений 1–17

| Соединение | Химический сдвиг, м. д.  |
|------------|--|
| <b>1</b>   | 0.80 (3H, с, MeSi); 2.24 (3H, с, Me); 6.26 (1H, с, CH); 7.31–7.50 (10H, м, аром.).   |
| <b>2</b>   | 0.87 (3H, с, MeSi); 6.73 (1H, с, CH); 7.31–7.86 (15H, м, аром.).   |
| <b>3</b>   | 0.89 (3H, с, MeSi); 6.76 (1H, с, CH); 7.32–7.71 (14H, м, аром.).   |
| <b>4</b>   | 0.90 (3H, с, MeSi); 6.84 (1H, с, CH); 7.34–7.52 (12H, м, аром.); 7.91 (1H, т д, $J = 2, J = 8$ Гц, CH); 8.56 (1H, д д, $J = 2, J = 6$ Гц, CH)  |
| <b>5</b>   | 0.91 (3H, с, MeSi); 6.80 (1H, с, CH); 7.30–7.50 (11H, м, аром.); 8.13 (1H, т д, $J = 2, J = 8$ Гц, CH); 8.64 (1H, д д, $J = 2, J = 6$ Гц, CH); 8.99 (1H, д, $J = 2$ Гц, CH)  |
| <b>6</b>   | 0.90 (3H, с, MeSi); 6.83 (1H, с, CH); 7.30–7.50 (10H, м, аром.); 8.64 (2H, д д, $J = 6.8$ Гц, 2CH); 9.05 (2H, д д, $J = 6.8$ Гц, 2CH)  |
| <b>7</b>   | 3.45 (3H, с, MeO); 3.88 (3H, с, MeO); 4.58 (2H, с, CH <sub>2</sub> ); 6.76 (1H, с, CH); 6.96–7.06 (2H, м, аром.); 7.35–7.45 (2H, м, аром.); 7.85–7.90 (1H, м, аром.)   |
| <b>8</b>   | 2.45 (1H, с, HO); 3.88 (3H, с, MeO); 4.60 (2H, с, CH <sub>2</sub> ); 6.56 (1H с, CH); 6.96–7.06 (2H, м, аром.); 7.35–7.45 (2H, м, аром.); 7.85–7.90 (1H, м, аром.)   |
| <b>9</b>   | 3.46 (3H, с, CH <sub>3</sub> ); 4.62 (2H, с, CH <sub>2</sub> ); 6.62 (1H с, CH); 7.33–7.55 (1H, м, аром.); 8.14 (1H, т д, $J = 2, J = 8.2$ Гц, аром.); 8.70 (1H, д д, $J = 2, J = 4.6$ Гц, аром.); 9.00 (1H, д, $J = 2$ Гц, аром.)                                       |
| <b>10</b>  | 3.73 (1H, д, $J = 0.5$ Гц, CH); 3.89 (3H, с, MeO); 3.96 (3H с, MeO); 6.85–7.06 (2H, м, аром.); 7.32–7.54 (2H, м, аром.); 7.84–7.96 (1H, м, аром.)  |
| <b>11</b>  | 1.44 (3H, т, $J = 8$ Гц, CH <sub>3</sub> ); 3.46 (2H, кв, $J = 8$ Гц); 4.22 (1H, с, CH); 6.60 (1H с, CH); 6.62 (1H, с, F <sub>2</sub> CHO); 7.17–7.46 (3H, м, аром.); 7.94–8.04 (1H, м, аром.)   |
| <b>12</b>  | 1.42 (3H, т, $J = 7.2$ Гц, CH <sub>3</sub> ); 3.52 (2H, кварт, $J = 7.2$ Гц, CH <sub>2</sub> ); 7.29 (1H, с, CH); 7.36–7.51 (1H, м, аром.); 8.17 (1H, т д, $J = 2$ Гц, $J = 4.6$ Гц, аром.); 8.75 (1H, д д, $J = 2, J = 4.6$ Гц, аром.); 9.08 (1H, д, $J = 2$ Гц, аром.) |
| <b>13</b>  | 3.13 (3H, с, Me <sub>2</sub> N); 3.32 (1H, с, CH); 3.91 (3H, с, MeO); 6.88–7.05 (1H, м, аром.); 7.35–7.54 (2H, м, аром.); 7.88–7.98 (1H, м, аром.)   |
| <b>14</b>  | 3.17 (6H, с, Me <sub>2</sub> N); 3.75 (1H, с, CH); 6.44 (1H, с, CHF <sub>2</sub> O); 7.38–7.60 (4H, м, аром.)  |
| <b>15</b>  | 3.17 (3H, с, Me <sub>2</sub> N); 3.28 (1H, с, CH); 7.11 (1H, с, CH); 7.33–7.51 (1H, м, аром.); 8.11 (1H, т д, $J = 2.1, J = 8.2$ Гц, аром.); 8.71 (1H, д д, $J = 2.1, J = 4.6$ Гц, аром.); 8.93 (1H, д, $J = 2.1$ Гц, аром.)   |
| <b>16</b>  | 2.57–2.63 (4 H, м, CH <sub>2</sub> N), 1.45–1.57 (6 H, м, CH <sub>2</sub> ); 3.28 (1H, с, CH); 7.11 (1H, м, CH); 7.33–7.51 (1H, м, аром.); 8.11 (1H, м, $J = 2.1, J = 8.2$ Гц, аром.); 8.71 (1H, м, $J = 2.1, J = 4.6$ Гц, аром.); 8.93 (1H, д, $J = 2.1$ Гц, аром.)     |
| <b>17</b>  | 4.66 (2H, с, CH <sub>2</sub> ); 6.89 (1H, с, NH); 7.11 (1H, с, CH); 7.25–7.51 (6H, м, аром.); 8.11 (1H, т д, $J = 2.1, J = 8.2$ Гц, аром.); 8.71 (1H, д д, $J = 2.1, J = 4.6$ Гц, аром.); 8.93 (1H, д, $J = 2.1$ Гц, аром.)  |

Уровень генерирования NO особенно высоко проявляется у 3-пиридинзамещенного силилизоксазола (**5**) (до 350% на линии MG-22A) и метоксиметильного и гидроксиметильного производных **7** и **8**, особенно на линии MG-22A (до 400%).

Таблица 4

Цитотоксическая активность *in vitro* силил- и карбонилзамещенных изоксазолов

| Соединение | Линии клеток                           |   |                           |                          |                           |             |
|------------|--|---|---------------------------|--------------------------|---------------------------|-------------|
|            | HT-1080                                |   |                           | MG-22A                   |                           |             |
|            | TD <sub>50</sub> *<br>CV <sup>*2</sup> | TD <sub>50</sub> *<br>MTT <sup>*3</sup> | NO %,<br>CV <sup>*4</sup> | TD <sub>50</sub> *<br>CV | TD <sub>50</sub> *<br>MTT | NO %,<br>CV |
| 1          | 7                                      | 3                                       | 75                        | 8                        | 12                        | 88          |
| 2          | * <sup>5</sup>                         | * <sup>5</sup>                          | 9                         | * <sup>5</sup>           | 100                       | 13          |
| 3          | * <sup>5</sup>                         | * <sup>5</sup>                          | 17                        | 17                       | 39                        | 22          |
| 4          | 44                                     | * <sup>5</sup>                          | 20                        | * <sup>5</sup>           | * <sup>5</sup>            | 13          |
| 5          | 40                                     | 47                                      | 254                       | 33                       | 41                        | 350         |
| 6          | 33                                     | 45                                      | 104                       | 41                       | 36                        | 54          |
| 7          | 13                                     | 28                                      | 43                        | 10                       | 17                        | 250         |
| 8          | 20                                     | 46                                      | 192                       | 14                       | 23                        | 400         |
| 11         | 36                                     | * <sup>5</sup>                          | 13                        | 43                       | 74                        | 30          |
| 13         | 42                                     | 35                                      | 25                        | 22                       | 32                        | 155         |
| 14         | * <sup>5</sup>                         | * <sup>5</sup>                          | 9                         | 100                      | 100                       | 15          |
| 15         | * <sup>5</sup>                         | 71                                      | 12                        | * <sup>5</sup>           | * <sup>5</sup>            | 8           |
| 16         | * <sup>5</sup>                         | * <sup>5</sup>                          | 5                         | * <sup>5</sup>           | * <sup>5</sup>            | 8           |

\* Концентрация, обеспечивающая 50% гибель клеток, мкг/мл.

<sup>\*2</sup> Окрашивание кристаллическим фиолетовым.

<sup>\*3</sup> Окрашивание бромидом 3-(4,5-диметилтиазол-2-ил)-2,5-дифенилтетразолия.

<sup>\*4</sup> NO концентрация (%) (CV окрашивание).

\*<sup>5</sup> Отсутствует цитотоксическая активность.

Самой высокой активностью из всех исследованных соединений отличается 3-метил-5-дифенилметилсилилизоксазол (1), что открывает возможность поиска новых цитотоксически активных веществ в ряду 3-алкилзамещенных силильных производных изоксазола.

## ЭКСПЕРИМЕНТАЛЬНАЯ ЧАСТЬ

Спектры ЯМР <sup>1</sup>H сняты на спектрометре Bruker WH-90/DS (90 МГц) в CDCl<sub>3</sub>, внутренний стандарт ТМС. Элементные анализы выполнены с помощью анализатора Carlo Erba 1108. Изоксазолины были очищены с использованием хроматографической колонки (носитель — силикагель 0.060–0.0200 мм, диаметр пор 6 нм, фирмы Acros, элюент этил-акетат/петролейный эфир). Оптическая плотность в биологических тестах, проводимых на 96-луночных панелях, определялась горизонтальным спектрофотометром Tetertek Multiscan MCC/340.

**3-Метил-5-дифенилметилсилилизоксазол (1).** Раствор нитроэтана (0.4 г, 5.4 ммоль) и триэтиламина (1 капля) в сухом бензоле добавляют по каплям в течение 4 ч к смеси дифенилметилэтинилсилана (1.2 г, 5.4 ммоль) и двух эквивалентов фенилизоцианата (1.28 г, 0.0108 моль) при комнатной температуре. Через несколько минут начинает выделяться углекислый газ и выпадать в осадок дифенилмочевина. Реакционную смесь нагревают 2 ч при 70–80 °C. После охлаждения до комнатной температуры дифенилмочевину отфильтровывают, раствор упаривают. Целевой продукт выделяют на хроматографической колонке. Выход 71%. Содержание основного вещества 98.2%, согласно данным ВЭЖХ (Zorbax C<sub>18</sub>, 4.6×150 мм, система: 70% ацетонитрил + 30% H<sub>2</sub>O). Детектор УФ ( $\lambda$  = 220 нм). Найдено, %: C 73.15; H 6.15; N 4.96. C<sub>17</sub>H<sub>17</sub>NOSi. Вычислено, %: C 73.08; H 6.13; N 5.01.

**3-Фенил-5-дифенилметилсилилизоксазол (2).** Раствор хлорангидрида арилгидроксамовой кислоты (0.01 моль) в сухом эфире добавляют по каплям в течение 2 ч к смеси дифенилметилэтинилсилана (0.01 моль) и триэтиламина (0.01 моль) в сухом эфире при комнатной температуре. Спустя несколько минут начинает выпадать триэтиламин

солянокислый. Реакционную смесь перемешивают 2 ч. Затем осадок отфильтровывают, растворитель упаривают. Целевой продукт выделяют на хроматографической колонке. Выход 80%. Содержание основного вещества 98.2%, согласно данным ВЭЖХ (Zorbax C<sub>18</sub>, 4.6×150 мм, система: 70% ацетонитрил + 30% H<sub>2</sub>O). Детектор УФ ( $\lambda = 220$  нм). Найдено, %: C 77.15; H 5.67; N 4.06. C<sub>22</sub>H<sub>19</sub>NOSi. Вычислено, %: C 77.38; H 5.61; N 4.10.

**3-(4'-Трифторметилфенил)-5-дифенилметилсилилизоксазол (3).** Получают аналогично 2. Целевой продукт выделяют на хроматографической колонке. Выход 75%. Содержание основного вещества 98.5%, согласно данным ВЭЖХ (Ultrasphere, 4.6×250 мм, система: 10% ацетонитрил + 90% гексан). Детектор УФ ( $\lambda = 254$  нм). Найдено, %: C 67.56; H 4.51; N 3.25. C<sub>23</sub>H<sub>18</sub>F<sub>3</sub>NOSi. Вычислено, %: C 67.47; H 4.43; N 3.42.

**3-(2'-Пиридин)-5-дифенилметилсилилизоксазол (4).** Дифенилметилэтинилсилан (0.01 моль), триэтиламин (0.01 моль) и хлорангидрид пиридингидроксамовой кислоты растворяют в 50 мл сухого бензола и интенсивно перемешивают при комнатной температуре. Далее осадок (триэтиламин солянокислый) отфильтровывают, растворитель упаривают. Целевой продукт выделяют на хроматографической колонке. Выход 58%. Содержание основного вещества 98.3%, согласно данным ВЭЖХ (Zorbax C<sub>18</sub>, 4.6×150 мм, система: 70% ацетонитрил + 30% H<sub>2</sub>O). Детектор УФ ( $\lambda = 254$  нм). Найдено, %: C 73.56; H 6.31; N 3.92. C<sub>21</sub>H<sub>18</sub>N<sub>2</sub>OSi. Вычислено, %: C 73.65; H 5.30; N 4.09. Вещество светочувствительно.

**3-(3'-Пиридин)-5-дифенилметилсилилизоксазол (5).** Получают аналогично 4. Целевой продукт выделяют на хроматографической колонке. Выход 55%. Содержание основного вещества 98.2 %, согласно данным ВЭЖХ (Zorbax C<sub>18</sub>, 4.6×150 мм, система: 70% ацетонитрил + 30% H<sub>2</sub>O). Детектор УФ ( $\lambda = 254$  нм). Найдено, %: C 73.65; H 6.33; N 4.06. C<sub>21</sub>H<sub>18</sub>N<sub>2</sub>OSi. Вычислено, %: C 73.65; H 5.30; N 4.09.

**3-(4'-Пиридин)-5-дифенилметилсилилизоксазол (6).** Получают аналогично 4. Целевой продукт выделяют на хроматографической колонке. Выход 64%. Содержание основного вещества 98.4%, согласно данным ВЭЖХ (Zorbax C<sub>18</sub>, 4.6×150 мм, система: 70% ацетонитрил + 30% H<sub>2</sub>O). Детектор УФ ( $\lambda = 254$  нм). Найдено, %: C 73.62; H 6.36; N 4.14. C<sub>21</sub>H<sub>18</sub>N<sub>2</sub>OSi. Вычислено, %: C 73.65; H 5.30; N 4.09.

**3-(o-Метоксифенил)-5-метоксиметилилизоксазол (7).** Раствор триэтиламина (0.01 моль) в сухом бензole добавляют по каплям в течение 2 ч к смеси метилпропаргилового эфира (0.01 моль) и хлорангидрида арилгидроксамовой кислоты (0.01 моль) в сухом бензole и при комнатной температуре. Спустя несколько минут начинает выпадать триэтиламин солянокислый. Реакционную смесь перемешивают 2 ч. Затем осадок отфильтровывают, растворитель упаривают. Целевой продукт выделяют на хроматографической колонке. Выход 90%. Содержание основного вещества 98.4%, согласно данным ВЭЖХ (Symmetry C<sub>18</sub>, 3.9×150 мм, система: 50% ацетонитрил + 50% H<sub>2</sub>O). Детектор УФ ( $\lambda = 254$  нм). Найдено, %: C 65.83; H 6.03; N 6.43. C<sub>12</sub>H<sub>13</sub>NO<sub>3</sub>. Вычислено, %: C 65.74; H 5.98; N 6.39.

**3-(o-Метоксифенил)-5-гидроксиметилилизоксазол (8).** Получают аналогично 7. Целевой продукт выделяют на хроматографической колонке. Выход 80%. Содержание основного вещества 98.4%, согласно данным ВЭЖХ (Symmetry C<sub>18</sub>, 3.9×150 мм, система: 50% ацетонитрил + 50% H<sub>2</sub>O). Детектор УФ ( $\lambda = 254$  нм). Найдено, %: C 64.33; H 5.45; N 6.70. C<sub>11</sub>H<sub>11</sub>NO<sub>3</sub>. Вычислено, %: C 64.38; H 5.40; N 6.83.

**3-(3'-Пиридин)-5-метоксиметилилизоксазол (9).** Получают аналогично 7. Целевой продукт выделяют на хроматографической колонке. Выход 67%. Содержание основного вещества 98.4%, согласно данным ВЭЖХ (Symmetry C<sub>18</sub>, 3.9×150 мм, система: 30% ацетонитрил + 70% H<sub>2</sub>O). Детектор УФ ( $\lambda = 220$  нм). Найдено, %: C 63.24; H 5.38; N 14.85. C<sub>10</sub>H<sub>10</sub>N<sub>2</sub>O<sub>2</sub>. Вычислено, %: C 63.15; H 5.30; N 14.73.

**3-(o-Метоксифенил)-5-этоксикарбонилилизоксазол (10).** Получают аналогично 7. Целевой продукт выделяют на хроматографической колонке. Выход 86%. Содержание основного вещества 98.5%, согласно данным ВЭЖХ (Ultrasphere, 4.6×250 мм, система: 10% этилацетат + 90% гексан). Детектор УФ ( $\lambda = 254$  нм). Найдено, %: C 66.35; H 5.10; N 6.65. C<sub>12</sub>H<sub>11</sub>NO<sub>4</sub>. Вычислено, %: C 66.43; H 5.17; N 6.55.

**3-(o-Дифторметоксифенил)-5-этоксикарбонилилизоксазол (11).** Получают аналогично 7. Целевой продукт выделяют на хроматографической колонке. Выход 80%. Содержание основного вещества 98.5%, согласно данным ВЭЖХ (Zorbax C<sub>18</sub>, 4.6×250 мм, система: 60% ацетонитрил + 40% H<sub>2</sub>O). Детектор УФ ( $\lambda = 220$  нм). Найдено, %: C 55.25; H 4.08; N 4.85. C<sub>13</sub>H<sub>11</sub>F<sub>2</sub>NO<sub>4</sub>. Вычислено, %: C 55.13; H 3.92; N 4.95.

**3-(3'-Пиридинил)-5-этоксикарбонилизоксазол (12).** Получают аналогично 7. Целевой продукт выделяют на хроматографической колонке. Выход 80%. Содержание основного вещества 99%, согласно данным ВЭЖХ (Kromasil 100-C<sub>18</sub>, 4.6×150 мм, система: ацетонитрил + [0.1% H<sub>3</sub>PO<sub>4</sub>+H<sub>2</sub>O]). Детектор УФ ( $\lambda = 330$  нм). Найдено, %: C 60.45; H 4.68; N 12.75. C<sub>11</sub>H<sub>10</sub>N<sub>2</sub>O<sub>3</sub>. Вычислено, %: C 60.55; H 4.62; N 12.84.

**3-(o-Метоксифенил)-5-диметиламинокарбонилизоксазол (13).** Раствор этоксикарбонильного производного **10** (0.01 моль) в этиловом спирте приливают к 30% раствору диметиламина в воде (0.05 моль) и оставляют при комнатной температуре на несколько дней. Далее растворитель упаривают. Целевой продукт выделяют на хроматографической колонке. Выход 65%. Содержание основного вещества 98.5%, согласно данным ВЭЖХ (Zorbax C<sub>18</sub>, 3.9×150 мм, система: 10% этилацетат + 90% гексан). Детектор УФ ( $\lambda = 254$  нм). Найдено, %: C 63.33; H 5.68; N 11.39. C<sub>13</sub>H<sub>14</sub>N<sub>2</sub>O<sub>3</sub>. Вычислено, %: C 63.40; H 5.73; N 11.37.

**3-(o-Дифторметоксифенил)-5-диметиламинокарбонилизоксазол (14).** Получают аналогично **13**. Целевой продукт выделяют на хроматографической колонке. Выход 65%. Содержание основного вещества 98.5%, согласно данным ВЭЖХ (Zorbax C<sub>18</sub>, 3.9×150 мм, система: 60% ацетонитрил + 40% H<sub>2</sub>O). Детектор УФ ( $\lambda = 254$  нм). Найдено, %: C 55.21; H 4.33; N 10.04. C<sub>13</sub>H<sub>12</sub>F<sub>2</sub>N<sub>2</sub>O<sub>3</sub>. Вычислено, %: C 55.32; H 4.29; N 9.92.

**3-(3'-Пиридинил)-5-диметиламинокарбонилизоксазол (15).** Получают аналогично **13**. Целевой продукт выделяют на хроматографической колонке. Выход 62%. Содержание основного вещества 99%, согласно данным ВЭЖХ (Symmetry C<sub>18</sub>, 3.9×150 мм, система: 20% ацетонитрил + 80% H<sub>2</sub>O). Детектор УФ ( $\lambda = 220$  нм). Найдено, %: C 60.77; H 5.08; N 19.51. C<sub>11</sub>H<sub>11</sub>N<sub>3</sub>O<sub>2</sub>. Вычислено, %: C 60.82; H 5.10; N 19.34.

**3-(3'-Пиридинил)-5-пиперидинокарбонилизоксазол (16).** Получают аналогично **13** в спиртовом растворе. Целевой продукт выделяют на хроматографической колонке. Выход 50%. Содержание основного вещества 98.5%, согласно данным ВЭЖХ (Symmetry C<sub>18</sub>, 3.9×150 мм, система: 30% ацетонитрил + 70% H<sub>2</sub>O). Детектор УФ ( $\lambda = 254$  нм). Найдено, %: C 65.33; H 5.79; N 16.39. C<sub>14</sub>H<sub>15</sub>N<sub>3</sub>O<sub>2</sub>. Вычислено, %: C 65.36; H 5.88; N 16.33.

**3-(3'-Пиридинил)-5-бензиламинокарбонилизоксазол (17).** Получают аналогично **13** в спиртовом растворе. Целевой продукт выделяют на хроматографической колонке. Выход 42%. Содержание основного вещества 98.3%, согласно данным ВЭЖХ (Symmetry C<sub>18</sub>, 3.9×150 мм, система: 20% ацетонитрил + 80% H<sub>2</sub>O). Детектор УФ ( $\lambda = 220$  нм). Найдено, %: C 68.72; H 4.58; N 15.01. C<sub>16</sub>H<sub>13</sub>N<sub>3</sub>O<sub>2</sub>. Вычислено, %: C 68.81; H 4.69; N 15.04.

## СПИСОК ЛИТЕРАТУРЫ

1. C. J. Easton, C. Merricc, M. Hughes, C. P. Savage, G. W. Simpson, in *Adv. in Heterocyclic Chemistry*, Ed. by Alan R. Katritzky, Academic Press, **60**, 261 (1994).
2. Sh. Pan, N. M. Amaukulor, K. Zhao, *Tetrahedron*, **54**, 6587 (1998).
3. Э. Лукевич, П. Арсентян, ХГС, 1155 (1998).
4. E. Lukevics, M. Veveris, V. Dirlnens, *Appl. Organomet. Chem.*, **11**, 805 (1997).
5. E. Lukevics, P. Arsenyan, M. Veveris, *Metal-Based Drugs*, **5**, 251 (1998).
6. E. Lukevics, P. Arsenyan, S. Germane, I. Shestakova, *Appl. Organomet. Chem.*, **13**, 795 (1999).
7. E. Lukevics, P. Arsenyan, I. Shestakova, O. Zharkova, I. Kaneppe, R. Mezapuke, O. Pudova, *Metal-Based Drugs*, **7**, 63 (2000).
8. T. Mukaiyama, T. Hoshito, *J. Am. Chem. Soc.*, **82**, 5339 (1960).
9. D. J. Fast, R. C. Lynch, R. W. Leu, *J. Leukocyt. Biol.*, **52**, 255 (1992).
10. P. J. Freshney, *Culture of Animal Cells (A Manual of Basic Technique)*, Wiley-Liss, New York, 1994, 296.
11. R. J. Riddell, R. H. Clothier, M. Fd. Balls, *Chem. Toxicol.*, **24**, 469 (1986).

Латвийский институт органического  
синтеза, Рига LV-1006  
e-mail: [pavel.arsenyan@mailcity.com](mailto:pavel.arsenyan@mailcity.com)

Поступило в редакцию 07.08.2000